

杨美英,卢冬雪,孙合美,等. Serratia sp. NDW3 GADH 小亚基基因 ga2dh 的克隆及表达分析[J]. 华南农业大学学报,2017,38(2):69-74.

Serratia sp. NDW3 GADH 小亚基基因 ga2dh 的克隆及表达分析

杨美英¹,卢冬雪¹,孙合美¹,武志海²,岳胜天¹,付 丽¹ (1 吉林农业大学生命科学学院,吉林长春130118;2 吉林农业大学农学院,吉林长春130118)

摘要:【目的】克隆葡萄糖酸脱氢酶(GADH)小亚基基因 ga2dh 并进行鉴定。【方法】研究水稻根际细菌 Serratia sp. NDW3 溶磷过程中菌株溶磷量、GADH 活性与 ga2dh 基因表达量的变化,对 ga2dh 基因进行克隆和生物信息学分析,并检测 ga2dh 基因在大肠埃希菌 BL21 中的表达。【结果】Serratia sp. NDW3 溶磷过程中 ga2dh 基因的相对表达量在 12 h 最大,GADH 活性在 24 h 达到最大值,NDW3 溶磷量在 36 h 后趋于稳定。从 Serratia sp. NDW3 菌株中克隆获得了 781 bp 的 ga2dh 基因序列,生物信息学分析发现该序列与 Serratia sp. SCBI 菌株的基因相似性为99.62%,编码的蛋白属于葡萄糖酸脱氢酶亚基 3 超家族,主要由 3 个 α — 螺旋构成,且氨基酸序列中包含有位于胞内、胞外和跨膜的区域。 ga2dh 基因在大肠埃希菌 BL21 体内表达,能够使得菌体 GADH 的活性显著增加。【结论】 Serratia sp. NDW3 菌株溶磷的主要机制依赖于直接氧化途径,ga2dh 基因编码的小亚基不仅对 GADH 活性起重要作用,也是介导 GADH 跨膜结构的重要组成部分。

关键词:水稻;溶磷菌; GADH; ga2dh; 基因表达; 酶活性

中图分类号:S565.101

文献标志码:A

文章编号:1001-411X(2017)02-0069-06

Cloning and expression analysis of GADH small subunit gene *ga2dh* from *Serratia* sp. NDW3

YANG Meiying¹, LU Dongxue¹, SUN Hemei¹, WU Zhihai², YUE Shengtian¹, FU Li¹
(1 College of Life Science, Jilin Agricultural University, Changchun, 130118 China;
2 Faculty of Agronomy, Jilin Agricultural University, Changchun, 130118 China)

Abstract: [Objective] To clone and identify GADH small subunit gene ga2dh. [Method] Changes in soluble phosphorus content, GADH activity and ga2dh gene expression level during the phosphate solubilizing process of Serratia sp. NDW3 from rice rhizosphere were studied. The ga2dh gene was cloned and expressed in Escherichia coli BL21, and bioinformatic analysis was performed. [Result] The relative expression of ga2dh gene in the process of phosphate solubilizing by Serratia sp. NDW3 reached maximum at 12 h, GADH activity reached maximum at 24 h, and the soluble phosphorus content stabilized after 36 h. The ga2dh gene sequence of 781 bp was obtained from Serratia sp. NDW3 by cloning. The similarity between ga2dh gene and Serratia sp. SCBI sequences was 99. 62% based on bioinformatic analysis. The protein encoded by ga2dh belonged to the superfamily of gluconate dehydrogenase subunit 3 and was composed of three α -helices. The amino acid sequence was consisted of intracellular, extracellular and transmembrane regions. The expression of ga2dh gene in E. coli BI21 significantly increased GADH activity. [Conclusion] The main mechanism of phosphate solubilizing by Serratia sp. NDW3 is through the direct oxidation pathway. The small subunit encoded by ga2dh gene not only plays an impor-

收稿日期:2016-06-14 优先出版时间:2017-01-10

优先出版网址:http://www.cnki.net/kcms/detail/44.1110.s.20170110.1423.024.html

作者简介:杨美英(1974—),女,教授,博士,E-mail:jiaumeiying@163.com

基金项目:国家自然科学基金(31201687)

tant role in GADH activation, but also is part of the transmembrane structure of GADH.

Key words: rice; phosphate solubilizing bacteria; GADH; ga2dh; gene expression; enzyme activity

磷是继氮之后作物所需的第 2 大营养元素,在作物光合作用、能量转移、信号转导及大分子物质的生物合成中都起着关键的作用^[1]。但根据资料调查显示,我国有 74%的耕地土壤缺磷^[2]。可溶性磷肥施入农田后,由于土壤的固定作用,大部分迅速转变为作物难以吸收的无效磷,无法被植物直接吸收利用,导致作物对磷肥的当季利用率不超过 30%^[3]。土壤中溶磷微生物能依靠自身的代谢或与其它生物协同作用^[4],将不溶性磷转变成植物可吸收利用的磷。

溶磷菌可明显促进作物的株高、干质量[5]及产 量的增加[6],也可以促进作物对磷素的吸收[7],增加 土壤生物量。因此,越来越多的溶磷菌被分离,主要 集中在假单胞菌属 Pseudomonas、埃希氏菌属 Escherichia、肠细菌属 Enterbacter 等[8]。不同的溶磷菌溶 磷的形式不同。微生物分泌的有机酸可作为 Ca²⁺ 的 螯合剂,从而使磷从不溶性磷酸盐中释放出来。其 中葡萄糖酮酸在土壤磷酸盐的风化和溶解过程中起 着重要作用^[9]。Arvind 等^[10]提出,参与直接氧化途 径的葡萄糖脱氢酶(GDH)和葡萄糖酸脱氢酶 (GADH)都定位在溶磷微生物的细胞膜外侧^[8],当 葡萄糖扩散至质膜时,在GDH的作用下被氧化成葡 糖酸,葡糖酸进一步在 GADH 的作用下被直接氧化 形成酸性特别强的葡糖酮酸[11],然后被分泌到细胞 壁和细胞膜之间,使胞外处于酸性极高的环境,从而 溶解不溶性磷酸钙[12]。

FAD(黄素腺嘌呤二核苷酸)-GADH由FAD-脱氢酶大亚基、含有血红素C的中间亚单位和1个小亚基组成,大亚基和中间亚单位的功能主要是参与氢及电子的传递,小亚基功能未知^[13]。本研究以水稻根际土壤分离到的溶磷细菌—Serratia sp. NDW3为研究对象,对菌株 NDW3 GADH小亚基基因 ga2dh 进行克隆与分析,旨在明确该基因的性质以及在菌株 NDW3 溶磷过程中的作用特点,进一步揭示溶磷菌的溶磷机制,为溶磷菌在农业生产上的应用提供理论基础。

1 材料与方法

1.1 材料

菌株 Serratia sp. NDW3 为吉林农业大学作物营养代谢与调控实验室于 2014 年分离于吉林农业大学水稻试验田、具有较好溶磷能力的溶磷菌。大肠http://xuebao.scau.edu.cn

埃希菌菌株 DH5α、BL21(DE3)及载体 pET28a(+) 均为该实验室保存。pMD18-T 载体试剂盒、琼脂糖 凝胶 DNA 回收试剂盒及限制性内切酶、Ex-Taq 酶、 T4 DNA 连接酶、DNA Marker、蛋白质分子量标准均 购于 TaKaRa 公司。细菌 RNA 提取试剂盒为天根生 化科技(北京)有限公司产品,Easy Script TMFirststrand cDNA Synthesis Super Mix 反转录试剂盒为北 京全式金生物技术有限公司产品,其它试剂均为国 产分析纯。

NBRIP (National botanical research institute's phosphate) 培养基及 LB 培养基的配制参照文献 [14]。

1.2 菌株 NDW3 溶磷量的测定

采用钼蓝比色法测定菌株的溶磷量^[15],以NBRIP 为基础培养基, $Ca_3(PO_4)_2$ 为唯一磷源,接种等量灭活菌液为对照。菌株 NDW3 接种在 LB 培养基中,当培养液细胞浓度为 $D_{600~\rm nm}=0.6$ 时,菌液以 φ 为 1% 的接种量接入装有 50 mL 液体培养基的 150 mL 三角瓶中,30 °C,150 r·min ⁻¹进行培养,重复 3 次。每隔 12 h 取样 1 次,将 2 mL 发酵液,10 000 r·min ⁻¹离心 5 min,取 1 mL 上清液加水至 3 mL,加入 3 mL 定磷试剂,测定上清液的含磷量,计算供试菌株的溶磷量;菌体用于 RNA 的提取。

1.3 GADH 活性的测定

GADH 活性测定参照 Yang 等^[16]方法:通过铁氰化钾作为电子受体,取 780 μL McIIvaine 缓冲液放入 25 mL 离心管中,然后加入 0.1 mol·L⁻¹铁氰化钾和 1 mol·L⁻¹葡萄糖酸钠各 100 μL,混匀后加入 20~200 μL 提取的粗酶液,再加入 500 μL 铁 – Dupanol溶液终止反应,25 ℃温育 20 min 进行显色,最后加入 3.5 mL 去离子水,在波长为 660 nm 条件下测定光密度值,空白对照用去离子水代替酶液。GADH 酶活力单位被定义为每分钟内催化 1 μmol 葡萄糖酸钠所需的酶量(4.0 个光密度等于氧化 1 μmol 的葡萄糖酸),酶活性用每毫克蛋白的酶活力单位数表示。

1.4 荧光定量 PCR

根据细菌总 RNA 试剂盒方法提取菌株 NDW3 的 RNA,采用 Easy Script [™]First-strand cDNA Synthesis Super Mix 反转录试剂盒合成 cDNA。实时荧光定 量 PCR 采用定量试剂 SYBR Premix ExTaqTM进行扩增反应,用 Primer 5.0 软件设计目的基因引物,GA2DH-F: 5'-CATCGTTTACAGCGTGGACTAC-3',内参基因为 16S rRNA,引物 16S-F: 5'-CCAACCGAC-CTTTTTCACCC-3',16S-R: 5'-TACGGCGTGTTCAT-CTGGC-3'。反应体系为 20 μ L,包括 SYBR Premix $ExTaq^{TM}II(2\times)10 \mu$ L,上下游引物各 0.8 μ L,ROX Reference Dye $(50\times)0.4 \mu$ L,cDNA 模板 1.0 μ L,ddH₂O 6.0 μ L。PCR 反应条件为:95 Ω 预变性 10 min;95 Ω 变性 15 s,60 Ω 复性 30 s,40 个循环。每个反应设置 3 次重复。利用 Step One 生物软件和 Microsoft Excel 分析处理试验结果,参照 ABI 公司提供的 $\Delta\Delta$ Ct 计算方法计算基因相对表达量。

1.5 ga2dh 基因的克隆与序列分析

从 GenBank 上检索序列,根据同属菌 ga2dh 基因的序列设计引物。以菌株 NDW3 的基因组 DNA 为模板,分别以 ga2dh-F: 5'-GACTATCTTTGGATG-GAATGTG-3'和 ga2dh-R: 5'-GCGTCTACTTTTTTCA-TTACCG-3'为引物进行 PCR 扩增。PCR 产物经 10 $g \cdot L^{-1}$ 琼脂糖凝胶电泳检测,检测正确的 DNA 片段经凝胶试剂盒回收与 pMD18-T 载体连接,转化大肠埃希菌 DH5 α 。经酶切及 PCR 验证为阳性的克隆送上海生工生物工程公司测序。将核苷酸序列转化成氨基酸序列后进行 BLAST 分析 (http://blast.ncbi.nlm.nih.gov/Blast.cgi),并利用 SWISS-MODLE 网站进行结构预测,TMHMM-2.0 软件进行蛋白质跨膜区域的预测。

1.6 原核表达载体 pET-28a-ga2dh 的构建与鉴定

以测序为阳性的重组质粒 pMD18-T-ga2dh 为模板,两端具有 EcoR I/XhoI 酶切位点的引物 Ga2dh-F: 5'-CCGGAATTCGACTATCTTTGGATGGAATGTG-3'和 Ga2dh-R: 5'-CCGCTCGAGGCGTCTACTTTTTTCATTACCG-3'(下滑线部分为酶切位点)进行 PCR,获得两端分别带有 EcoR I 和 XhoI 酶切位点的目的片段。EcoR I 和 XhoI 取酶切目的片段和 pET28a(+),凝胶回收并于 16 ℃金属浴内连接 12 h。连接产物 42 ℃热激转化大肠埃希菌 BL21(DE3)感受态细胞。

1.7 重组质粒 pET-28a-ga2dh 在大肠埃希菌体内 的诱导表达

将鉴定为阳性的 BL21 (pET-28a-ga2dh) 挑取单 菌落到含卡那霉素 (Kan) 的 LB 液体培养基中,37 $^{\circ}$ C,160 r·min⁻¹,过夜培养。以 $_{\varphi}$ 为1%的接种量将

过夜培养的菌液转接到含有 Kan 抗性的 LB 液体培养基中,37 $^{\circ}$ C,160 r·min $^{-1}$ 培养至 $D_{600~\rm nm}=0.6$ 。加入 IPTG 使其终浓度为 1.0 mmol·L $^{-1}$,诱导 2 和 4 h,各取 1 mL 菌液,10 000 r·min $^{-1}$,离心 10 min 收集菌体。将收集到的菌体加入 100 μ L 样品溶解液充分混匀。100 $^{\circ}$ C 处理 10 min,裂解菌体细胞。12 000 r·min $^{-1}$ 离心 10 min,收集上清,上样 20 μ L,采用 12%的分离胶和 5%的浓缩胶进行 SDS-PAGE电泳检测蛋白表达。

1.8 大肠埃希菌 GADH 活性的测定

菌体 BL21 (pET-28a-ga2dh) 及 BL21 (pET-28a) GADH 活性测定方法如下:将过夜培养的菌悬液,按 φ 为 0.5% 接种于 100 mL LB 培养基,当培养液细胞浓度 $D_{600\,\mathrm{nm}}=0.6$ 时,继续培养 4 h。每隔 1 h 取菌液 20 mL,4 $^{\circ}$ C,10 000 r·min 高心 10 min 后,收集菌体。向菌体中加入含有 1 mmol·L $^{-1}$ β - 巯基乙醇的 0.01 mol·L $^{-1}$ pH = 6 的磷酸盐缓冲液 10 mL,超声破碎 20 min (功率 50%,10 s 工作,20 s 间歇),4 $^{\circ}$ C浸提 3 h。4 $^{\circ}$ C,12 000 r·min $^{-1}$ 离心 10 min,去上清,向其中加入含有 φ 为 1%的 Triton-X 100 的 0.01 mol·L $^{-1}$ pH = 6 的磷酸盐缓冲液 3 mL,0 $^{\circ}$ C,80 r·min $^{-1}$ 3 h,之后 4 $^{\circ}$ C浸提过夜,12 000 r·min $^{-1}$ 离心 10 min 后,上清即为粗酶液。酶活性的测定参照"1.3",数据采用 Duncan's 新复极差法进行差异显著性分析。

2 结果与分析

2.1 NDW3 溶磷量、GADH 活性、ga2dh 基因表达

为了明确 GADH 小亚基基因 ga2dh 的表达与 GADH 活性及溶磷之间的关系,测定了菌株 NDW3 在 96 h 内溶磷量的变化及 GADH 的活性。如图 1 所示,随培养时间的延长,溶磷量在 36 h 之前表现出不断增加的趋势,36~96 h 内变化不明显。GADH 活性在 12 h 时较小,24 h 时达到峰值,然后逐渐降低。48 h 内 ga2dh 表达量随着时间的增加而下降,12 h 相对表达量远高于 48 h。

2.2 ga2dh 基因的克隆与鉴定

如图 2 所示,以 Serratia sp. NDW3 提取的基因组 DNA 为模板,PCR 扩增出约 780 bp 左右清晰的目的片段。利用 PCR 和双酶切验证目的片段与pMD18-T 载体的连接,PCR 与酶切都获得清晰的目的条带,说明目的基因与载体连接成功。

2.3 ga2dh 基因序列分析

利用 BLAST 对 *ga2dh* 基因序列及 GenBank 核酸数据库进行分析。菌株 NDW3 的 *ga2dh* 基因序列http://xuebao.scau.edu.cn

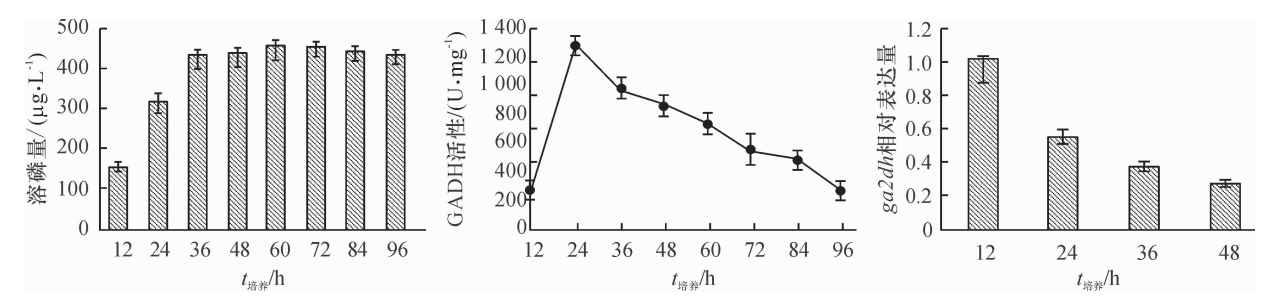
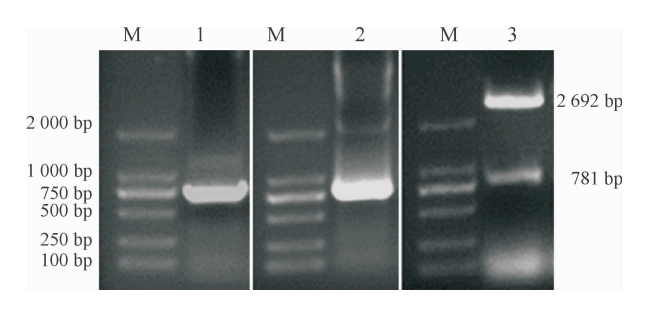


图 1 菌株 NDW3 溶磷量、GADH 活性及 ga2dh 基因表达量的变化

Fig. 1 Changes in soluble phosphorus content, GADH activity and ga2dh gene expression level during phosphate solubilizing by strain NDW3

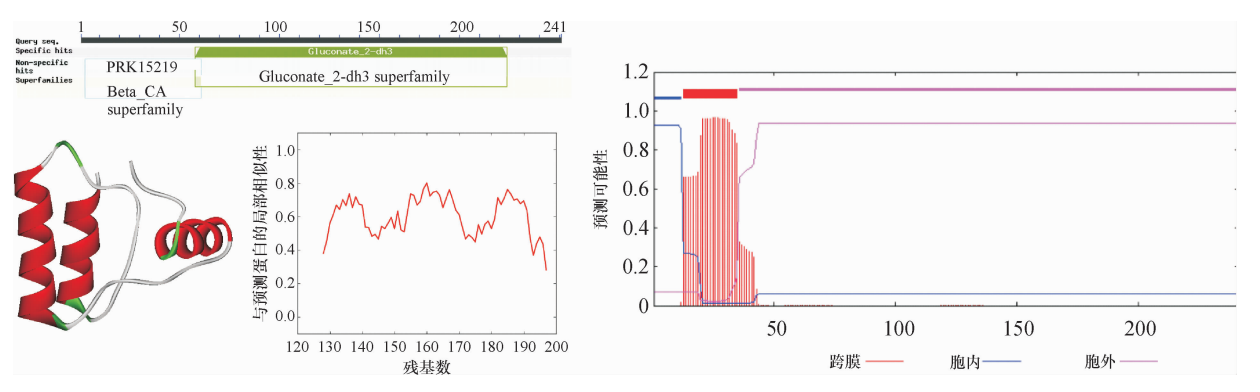


M: DI2000 Marker; 1: NDW3 PCR 扩增产物; 2: 重组质粒的 PCR 鉴定; 3: 重组质粒的酶切鉴定。

图 2 ga2dh 基因的 PCR 扩增与鉴定

Fig. 2 PCR amplification and verification of ga2dh gene

与 Serratia sp. SCBI (CP003424.1)相似性最高,为99.62%。ga2dh 基因的生物信息学分析结果见图3。从图3A看出,ga2dh 基因编码的蛋白属于葡萄糖酸脱氢酶亚基3超家族,结构主要由3个α-螺旋构成,且预测结果的局部相似性均超过0.6。利用TMHMM-2.0将蛋白质序列进行跨膜区的预测(图3B),结果发现蛋白质序列中前12个氨基酸位于胞内,36位氨基酸之后形成的蛋白质结构位于胞外,13~35 氨基酸位点之间形成跨膜的区域。



A: ga2dh 蛋白保守结构域的三维结构模拟及可靠性检测

B: ga2dh 蛋白跨膜区域预测

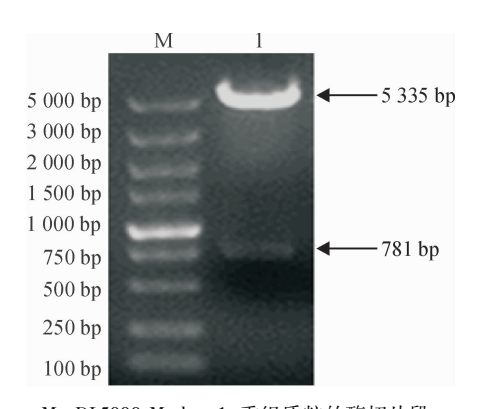
图 3 ga2dh 基因序列的生物信息学分析

Fig. 3 Bioinformatic analysis of ga2dh gene

2.4 ga2dh 基因在大肠埃希菌中的表达

2.4.1 原核表达载体 pET-28a-ga2dh 的构建 利用测序结果正确的 pMD18-T-ga2dh 为模板进行 PCR,获得两端带有 EcoR I 和 Xho I 酶切位点的目的片段,利用双酶切与载体 pET-28a 进行连接,并转化大肠埃希菌 BL21。阳性克隆提取质粒,并进行双酶切验证。结果如图 4 所示,酶切后的基因片段及载体大小分别与目的基因及 pET-28a 载体的大小一致,说明原核表达载体 pET-28a-ga2dh 构建成功。

2.4.2 原核表达载体在大肠埃希菌中的诱导表达 将 BL21 (pET-28a-ga2dh) 进行诱导表达, SDS-PAGE 电泳结果如图 5 所示,BL21(pET-28a-ga2dh) http://xuebao.scau.edu.cn

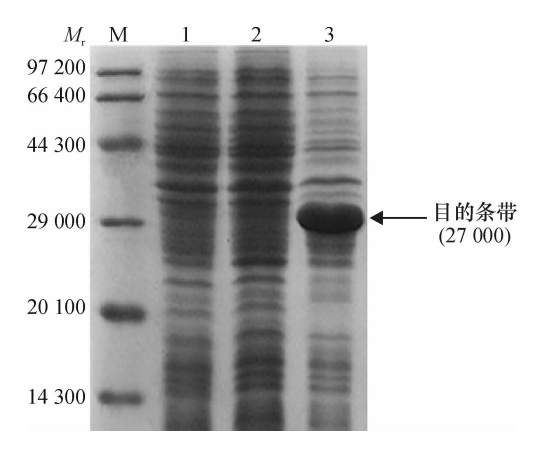


M: DL5000 Marker;1:重组质粒的酶切片段。

图 4 重组质粒的酶切鉴定

Fig. 4 Restriction digestion analysis of recombinant plasmid

在相对分子质量约27000处存在明显的蛋白表达条带,且含量远高于对照,说明该基因在大肠埃希菌BL21中可以表达。



M:蛋白 Marker;1: BL21(pET-28a);2:未诱导的 BL21(pET-28a-ga2dh);3:诱导的 BL21(pET-28a-ga2dh)。

图 5 ga2dh 基因在 BL21 中的蛋白表达

Fig. 5 Protein expression of ga2dh gene in bacterium BL21

2.4.3 大肠埃希菌 BL21 菌体 GADH 活性分析 利用 LB 培养基对带有不同质粒的 BL21 菌株进行培养,GADH 活性如表 1 所示。结果表明:BL21(pET-28a-ga2dh)菌株 GADH 活性随着培养时间增加而逐渐增强,在 4 h 时菌株的酶活性为 411.67 U·mg⁻¹,显著高于其他时间段(P<0.05)。BL21(pET-28a)菌株在 4 h 内 GADH 活性也随着时间的增加而增强,但同一时间内,酶活性都远低于 BL21(pET-28a-ga2dh),且 4 h 时,酶活性仅为 BL21(pET-28a-ga2dh)体内酶活性的 20.65%。这说明 GADH 小亚基基因 ga2dh 的表达,能够使大肠埃希菌 BL21 GADH 的活性显著增加。

表 1 GADH 活性分析 Tab. 1 The activity analysis of GADH

$t_{培养}/\mathrm{h}$	GADH 活性¹)/(U・mg⁻¹)	
	BL21 (pET-28a)	BL21 (pET-28a-ga2dh)
1	$44.67 \pm 2.52c$	$124.00 \pm 16.09 d$
2	$47.33 \pm 2.53c$	$165.67 \pm 21.00\mathrm{c}$
3	$71.67 \pm 5.69 \mathrm{b}$	$294.67 \pm 24.44\mathrm{b}$
4	$85.00 \pm 3.06a$	$411.67 \pm 24.18a$

1) 同列数据后凡具有一个相同小写字母,表示酶活性差异不显著 (P>0.05, Duncan's 法)。

3 讨论与结论

Serratia sp. 是 1 类具有溶磷能力的革兰阴性菌株, Serratia marcescens GPS 5^[17], Serratia sp.MSK1^[18]等菌株已被分离并鉴定。本研究从水稻根

际土壤中也分离到 1 株溶磷能力较好的菌株 Serratia sp. NDW3。Goldstein 等^[19]认为菌株溶磷的特性受无机磷酸盐浓度的影响。本试验以 NBRIP 为培养基,不溶性磷酸钙为唯一磷源时,随培养时间的延长,菌株 NDW3 溶磷量表现出先增加,36 h 后趋于稳定的趋势,这说明菌株 NDW3 溶磷可能同样受不溶性磷的调节,培养基中可溶性磷浓度达到一定值时,菌株溶磷特性受到抑制。

溶磷微生物的溶磷机理非常复杂, Sashidhar 等[8]认为葡萄糖直接氧化成葡萄糖酸是细菌溶磷的 主要机制,革兰阴性细菌由于能分泌大量的有机酸 进入外膜空间,其溶磷效果要好于革兰阳性菌。研 究发现参与直接氧化途径的酶 GDH 和 GADH 都锚 定在内膜上,但催化结构域却朝向细胞质膜的外表 面,直接氧化途径产生的葡萄糖酸和2-酮基葡糖酸 被分泌到细胞壁和细胞膜之间,使胞外处于酸性极 高的环境[8]。ga2dh 基因编码 GADH 分子的 1 个小 亚基,本试验发现 ga2dh 基因的相对表达量在 12 h 最大,GADH活性在24 h达到最大值,而溶磷量在 36 h 后趋于稳定,这种规律可能是因为菌体内 ga2dh 基因表达后,GADH蛋白的形成需要一定的时间,或 在培养过程中随着时间的增加,pH 会抑制葡萄糖酮 酸的产生,从而对酶产生了反馈抑制作用。ga2dh基 因表达量、酶活性与溶磷量三者表现出依次滞后的 趋势与高度相关性,说明 Serratia sp. NDW3 菌株溶 磷的主要机制可能仍是依赖于直接氧化途径。生物 信息学分析发现 ga2dh 基因编码的蛋白质序列存在 跨膜以及胞内和胞外的区域。在大肠埃希菌中表达 该基因可以明显增加菌体 GADH 的活性。这说明 ga2dh 基因编码的小亚基不仅对 GADH 活性起重要 作用,也是介导 GADH 的跨膜结构的重要组成部分。

参考文献:

- [1] KHAN M S, ZAIDI A, AHEMAD M, et al. Plant growth promotion by phosphate solubilizing fungi-current perspective [J]. Arch Agron Soil Sci, 2010, 56(1):73-98.
- [2] 史国英, 莫燕梅, 岑贞陆,等. 1 株高效解无机磷细菌 BS06 的鉴定及其解磷能力分析 [J]. 微生物学通报, 2015, 42(7):1271-1278.
- [3] SHARMA S B, SAYYED R Z, TRIVEDI M H, et al. Phosphate solubilizing microbes: Sustainable approach for managing phosphorus deficiency in agricultural soils [J]. SpringerPlus, 2013, 2(1): 587-601.
- [4] 刘聪, 林维, 孙珑,等. 黑土区林地土壤高效解磷细菌的分离、筛选及其解磷效果[J]. 东北林业大学学报,

http://xuebao.scau.edu.cn

- 2013, 41(11): 83-85.
- [5] VYAS P, GULATI A. Organic acid production in vitro and plant growth promotion in maize under controlled environment by phosphate-solubilizing fluorescent *Pseudomonas* [J]. BMC Microbiol, 2009, 9(1):174-189.
- [6] HAMEEDA B, REDDY Y H, RUPELA O P. Effect of carbon substrates on rock phosphate solubilization by bacteria from composts and macrofauna [J]. Curr Microbiol, 2006, 53(4): 298-302.
- [7] 张淑红. 兼溶 5 种难溶磷的溶磷细菌筛选及其对花生的促生作用[J]. 河南农业科学, 2015, 44(11):58-61.
- [8] SASHIDHAR B, PODILE A R. Mineral phosphate solubilization by rhizosphere bacteria and scope for manipulation of the direct oxidation pathway involving glucose dehydrogenase [J]. J Appl Microbiol, 2010, 109(1): 1-12.
- [9] DUFF R B, WEBLEY D M, SCOTT R O. Solubilization of minerals and related materials by 2-ketogluconic acid producing bacteria [J]. Soil Sci, 1963, 95(2):105-114.
- [10] KUMAR A, RAI L C. Proteomic and biochemical basis for enhanced growth yield of *Enterobacter* sp. LCR1 on insoluble phosphate medium [J]. Microbiol Res, 2015, 170: 195-204.
- [11] ANTHONY C. The quinoprotein dehydrogenases for methanol and glucose [J]. Arch Biochem Biophys, 2004, 428 (1); 2-9.
- [12] KRISHNARAJ P U, GOLDSTEIN A H. Cloning of a Serratia marcescens DNA fragment that induces quinoprotein glucose dehydrogenase-mediated gluconic acid production in Escherichia coli in the presence of a stationary phase Serratia marcescens [J]. FEMS Microbiol Lett, 2001, 205

- (2): 215-220.
- [13] TOYAMA H, FURUYA N, SAICHANA I, et al. Membrane-bound, 2-keto-D-gluconate-yielding D-gluconate dehydrogenase from "Gluconobacter dioxyacetonicus" IFO 3271: Molecular properties and gene disruption [J]. Appl Environ Microb, 2007, 73(20); 6551-6556.
- [14] 杨美英,王春红,武志海,等.不同条件下2株溶磷菌溶磷量及葡萄糖脱氢酶基因表达与酶活分析[J]. 微生物学报,2016,56(4):651-663.
- [15] 李兴霖,秦平,葛菁萍,等.共培养提高解磷菌解无机磷能力及解无机磷基因(pqqE)的克隆[J].中国农学通报,2015(23):47-52.
- [16] YANG G F, WEI Z, SUN W J, et al. Purification and enzymatic characterization of membrane-bound D-gluconate dehydrogenase from Arthrobacter globiformis [J]. J Mol Catal B-Enzym, 2015, 113:14-22.
- [17] TRIPURA C B, SASHIDHAR B, PODILE A R. Ethyl methanesulfonate mutagenesis enhanced mineral phosphate solubilization by groundnut-associated *Serratia marcescens* GPS-5[J]. Curr Microbiol, 2007, 54(2): 79-84.
- [18] SINGH M, TEJO PRAKASH N. Characterisation of phosphate solubilising bacteria in sandy loam soil under chick-pea cropping system [J]. Indian J Microbiol, 2012, 52 (2):167-173.
- [19] GOLDSTEIN A H, LIU S T. Molecular cloning and regulation of a mineral phosphate-solubilizing gene from *Erwinia herbicola*[J]. Nat Biotechnol, 1987, 5(1); 72-74.

【责任编辑 庄 延】